



УДК 547.458.22:541.12.031:542.953.951.52

© 1992 г. *В. И. Бетанели, О. В. Брюханова,  
А. Я. Отт, З. Г. Макарова, Н. К. Коштков*

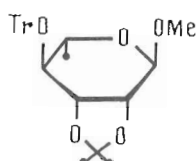
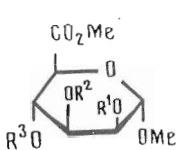
**ГЛИКОЗИЛИРОВАНИЕ 1,2-О-(1-ЦИАНО)ЭТИЛИДЕНОВЫМИ  
ПРОИЗВОДНЫМИ D-МАННУРОНОВОЙ КИСЛОТЫ. СИНТЕЗ  
ПРОИЗВОДНЫХ МАННОПИРАНУРОНОЗИЛ-  
МАННОПИРАНУРОНОВОЙ КИСЛОТЫ**

*Институт органической химии им. Н. Д. Зелинского РАН, Москва*

Гликозилирование 2-, 3- и 4-тритиловых эфиров производных метил-(метил- $\alpha$ -D-маннопиранозид)уроната и метил-2,3-O-изопропиляден-4-O-тритил- $\alpha$ -L-рамнопиранозида производными сложных эфиров 1,2-O-[1-(экзо-циано)-этилиден]- $\beta$ -D-маннопирануроновой кислоты в условиях трития-цианоэтилиденовой конденсации проходит эффективно с выходами соответствующих дисахаридов 73–94%. Однако стереоселективность реакции невысока, соотношение количества  $\alpha$ : $\beta$ -связанных дисахаридов составляет от 0,62:1 до 2,3:1. При гликозилировании метил-(метил-2,4-di-O-ацетил-3-O-тритил- $\alpha$ -D-маннопирапозид)уроната под давлением 14 кбар стереоселективность реакции увеличивается, соотношение  $\alpha$ : $\beta$  смешается в сторону 1,2-транс-связанных дисахаридов в 3–4 раза. Удаление защитных групп в ацетилированных производных (1–2)- и (1–3)-связанных дисахаридов приводит к метилгликозидам свободных диманнуроновых кислот. Гидрогенолизом дисахаридов, содержащих в качестве защиты одной из карбоксильных групп бензильную, получены дисахариды с одной свободной карбоксильной группой.

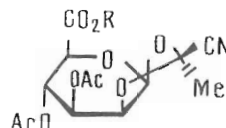
Производные уроновых кислот входят в состав различных природных гомо- и гетерополисахаридов, поэтому направленный синтез полиуронидов, а также их фрагментов представляет собой актуальную задачу синтетической химии углеводов. 1,2-O-(1-Циано)этилиденовые производные (ЦЭП) гексуроновых кислот с D-глюко- и D-галакто-конфигурацией были успешно использованы в стереоспецифическом синтезе ряда олиго- и полисахаридов [1].

В данной работе исследовался синтез диманнуроновых кислот путем гликозилирования ЦЭП D-маннуроновой кислоты различных тритиевых эфиров D-маннуроновой кислоты в условиях трития-цианоэтилиденовой конденсации, а также отрабатывались условия удаления защитных групп в полученных ацетилированных производных (1–2)- и (1–3)-связанных дисахаридов. Гликозилакцепторами при конденсации служили метилгликозиды метиловых эфиров D-маннуроновой кислоты, содержащие O-тритильные группы в положении 2-, 3- и 4- (1)–(4), описанные ранее [2], а также 4-тритиевый эфир метилрамнопирапозида (5) [3]. В качестве гликозилдоноров использовали ЦЭП метилового и бензилового эфиров D-маннуроновой кислоты (6) и (7), синтез которых был описан ранее [4].



(5)

- (1)  $R^1 = \text{Tr}$ ,  $R^2 = R^3 = \text{Ac}$   
 (2)  $R^2 = \text{Tr}$ ,  $R^1 = R^3 = \text{Ac}$   
 (3)  $R^3 = \text{Tr}$ ,  $R^1 = R^2 = \text{Ac}$   
 (4)  $R^3 = \text{Tr}$ ,  $R^1 \text{ и } R^2 = \text{CMe}_2$

(6)  $R = \text{Bn}$  (бензил)(7)  $R = \text{Me}$ 

Реакцию гликозилирования проводили 17 ч в стандартных условиях тритил-цианоэтилиденовой конденсации [1] в  $\text{CH}_2\text{Cl}_2$  с использованием 0,1 экв. перхлората трифенилметиля при  $\sim 20^\circ\text{C}$ , затем ее останавливали избытком пиридина, содержащего 2% воды [3]. Продукты реакции гли-

Таблица I

Выходы и соотношения продуктов гликозилирования тритиевых эфиров (1)–(5) кеталами (6) и (7) \*

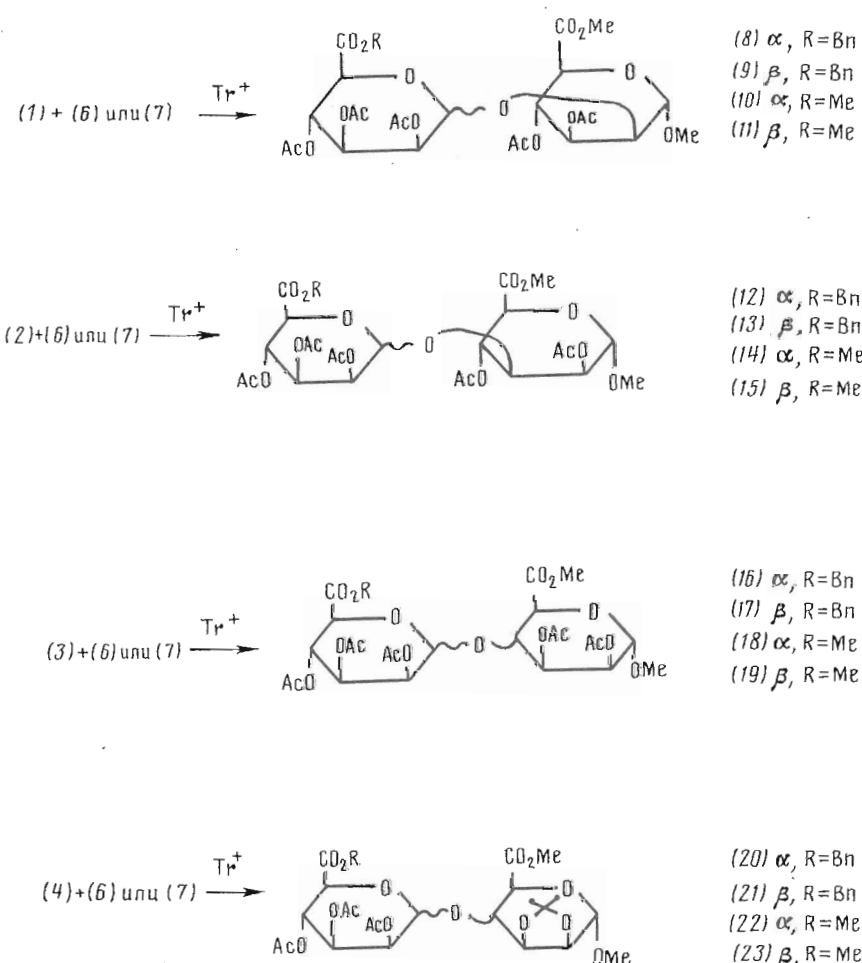
Опыт	Трити- ловый эфир	Кеталь	Дисахариды			TCX, $R_f$ (толуол – этилацетат, 1 : 1)	$[\alpha]_D^{25} \pm 2^\circ$ ( $c = ?$ , $\text{CHCl}_3$ )	Выход побочных про- дуктов, % (шифр)
			шифр	выход, $\alpha + \beta$	соотно- шение $\alpha : \beta$			
1	(1)	(6)	(8) (9)	74	2,3 : 1	0,49 0,43	+33,9	19 (1), 18 (28), 55 (29), 10 (35), 2 (36)
2	(1)	(7)	(10) (11)	94	1,8 : 1	0,35 0,31	+41,3 -6,0	11 (1), 2 (28), 2 (29), 8 (31)
3	(2)	(6)	(12) (13)	73	1,1 : 1	0,49 0,52	+26,7 -8,0	7 (2), 4 (28), 40 (29), 7 (3), 4 (35), 6 (36), 8 (38), 6 (40)
4	(2)	(7)	(14) (15)	81	0,62 : 1	0,36 0,42	+38,9 -4,0	18 (29), 5 (31), 7 (37)
5	(3)	(6)	(16) (17)	82	1,2 : 1	0,51 0,54		14 (3), 45 (30), 2 (35)
6	(3)	(7)	(18) (19)	77	1,1 : 1	0,36 0,40	+35,0 -6,4	20 (3), 30 (30), 2 (31), 5 (37), 2 (39)
7	(4)	(6)	(20) (21)	82	2,1 : 1	0,64 0,61	+49,6 -8,9	1 (4), 16 (32), 7 (36), следы (39)
8	(4)	(7)	(22) (23)	77	1,5 : 1	0,56 0,54		1 (4), 26 (32), 4 (36), 2 (39)
9	(5)	(6)	(24) (25)	89	1,8 : 1	0,64 0,69		6 (5), 8 (33), 8 (34)
10	(5)	(7)	(26) (27)	94	1,6 : 1	0,57 0,60		1 (5), 7 (33), 3 (31)
11	(2)	(7)	(14) (15)	86	1,1 : 1			6 (2), 6 (28), 12 (29)
12	(2)	(6)	(12) (13)	–	–			92 (2), 76 (4), 8 (28), 19 (29), 7 (40)
13	(2)	(6)	(12) (13)	71	3,6 : 1			4 (2), 10 (28), 17 (29), 9 (31), 11 (40)
14	(2)	(6)	(12) (13)	78	3,7 : 1			Следы (2), 4 (29), 3 (31), 1 (35), 2 (40)
15	(2)	(7)	(14) (15)	65	1,8 : 1			10 (2), 5 (28), 27 (29)
16	(2)	(7)	(14) (15)	71	2,1 : 1			9 (2), 5 (28), 15 (29)

\* Реакцию гликозилирования в опытах 1–16 проводили при атмосферном давлении в присутствии 10%  $\text{TrClO}_4$  (опыты 1–10) и 4%  $\text{TrClO}_4$  (опыт 11); опыты 12–16 — под давлением 14 кбар в присутствии 4%  $\text{TrClO}_4$  (опыты 12, 16), 6%  $\text{TrClO}_4$  (опыт 13), 10%  $\text{TrClO}_4$  (опыты 14, 15).

козилирования выделяли колоночной хроматографией на силикагеле и исследовали методами ТСХ (табл. 1) и  $^1\text{H}$ - и  $^{13}\text{C}$ -ЯМР-спектроскопии (табл. 2 и 3).

Как видно из табл. 1, реакция гликозилирования протекает эффективно, выходы дисахаридов составляют 73–94%. В то же время в отличие от аналогичных реакций производных *D*-глюко- и *D*-галактуроновой кислот в данном случае гликозилирование лишено стереоселективности — образуются смеси  $\alpha$ - и  $\beta$ -связанных производных диманнуроновых кислот с (1–2)-гликозидной связью (8)–(11), (1–3)-связью (12)–(15) и (1–4)-связью (16)–(23). Нарушение стереоспецифичности конденсации могло быть в принципе отнесено за счет особенностей строения как гликозил-донара, так и гликозилакцептора (схема 1).

Схема 1

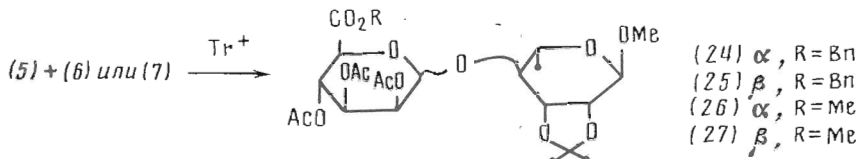


Гликозилирование 3-тритилового эфира (2) кеталем (7) было проведено также в присутствии меньшего, чем обычно, количества катализатора — 4%  $\text{TrClO}_4$  при сохранении прочих равных условий (табл. 1, опыт 11). При незначительном увеличении выхода суммы дисахаридов (14) и (15) заметно изменилась стереоселективность реакции — количество  $\alpha$ -связан-

ного дисахарида (14) увеличилось почти в 2 раза по сравнению с полученным при обычных условиях реакции тритиля-цианоэтилиденовой конденсации (ср. опыт 4).

Известно, что гликозилирование тритиолового эфира метилрамнопиранозида (5) проходит с высокой стереоселективностью при использовании производных как нейтральных гексоз, так и D-глюкуроновой кислоты (см., например, [3, 5, 6]). Однако при конденсации эфира (5) с ЦЭП D-маннуроновой кислоты (6) и (7) были получены смеси аномерных дисахаридов (24)–(27) с преобладанием 1,2-транс-связанных дисахаридов (24) и (26) (табл. 1, опыты 9, 10) (схема 2).

Схема 2



Эти результаты дают основания полагать, что низкая стереоселективность гликозилирования при получении производных диманнуроновых кислот (8)–(23) связана, по-видимому, с природой гликозилдонора, а не гликозилакцептора. Причина этого явления еще недостаточно ясна. Она, скорее всего, связана со стереоэлектронным влиянием карбоксильной группы при атоме C5 на стерически однозначную атаку промежуточного ацилоксониевого кationsа.

Соотношение количества 1,2-транс- и 1,2-цик-связанных дисахаридов ( $\alpha : \beta$ ), колеблющееся от 0,62:1 до 2,3:1, определяли по значениям интегральных интенсивностей соответствующих сигналов в спектрах ЯМР или по выходам, в случае полного разделения дисахаридов хроматографией. Отметим, что в случаях гликозилирования кеталем (6) это соотношение всегда выше, чем при использовании его метильного аналога (7). Строение полученных дисахаридов доказано на основании данных ЯМР (табл. 2, 3). В  $^1\text{H}$ -ЯМР-спектрах содержатся сигналы, отвечающие по химическим сдвигам и интегральным интенсивностям протонам всех функциональных групп полученных дисахаридов (8)–(27) (Me-, Ac-, Br-,  $=\text{CMe}_2$ ), в спектрах  $^{13}\text{C}$ -ЯМР также присутствуют сигналы этих групп. Конфигурацию аномерного центра в дисахаридах подтверждает характеристический сигнал атома C5, химический сдвиг которого в  $\alpha$ -связанных звеньях ацетилированных производных составляет 69,4–71,1 м.д., для  $\beta$ -связанных — 72,9–73,4 м.д. В производных дисахаридов (20)–(27), содержащих в восстанавливающем звене защитную изопропилиденовую группировку, химические сдвиги C5 для  $\alpha$ -связанных дисахаридов составили 67,8–71,1 (*D-Manp*) и 64,1–64,7 м.д. (*L-Rhap*), в  $\beta$ -дисахаридах — 73,0–75,1 и 78,1–78,3 м.д. соответственно. Для дополнительного подтверждения конфигурации аномерного центра измерены константы спин-спинового взаимодействия (КССВ)  $J_{\text{C}_1, \text{H}_1}$  и  $J_{\text{C}_1', \text{H}_1'}$  в полученных дисахаридных производных (8)–(27). Наблюдались некоторые различия в значениях  $J_{\text{C}_1, \text{H}_1}$  для производных дисахаридов, содержащих ацетильные и изопропилиденовые защитные группы. Так, для ацетатов  $\alpha$ -связанных дисахаридов значение  $J_{\text{C}_1, \text{H}_1}$  равнялось 170,1–178,2 Гц, для  $\beta$ -связанных — 161,1–166 Гц. В случае производных дисахаридов, содержащих в восстанавливающем звене изопропилиденовую защитную группу, эти значения соответственно равнялись 170,9–178 и 159–161 Гц; для содержащих в качестве восстанавливающего звена изопропилиденовое производное *L*-рамнопиранозы — 166–173 и 161–163 Гц (табл. 3).

Таблица 2

Данные спектров  $^1\text{H-NMR}$  ( $\text{CDCl}_3$ , δ) защищенных производных дисахаридов (8)–(27), (54)–(55)\*

Шифр соединения	Остаток	Химические свидги, м. д.						КССВ, Гц			
		H1	H2	H3	H4	H5		J <sub>1,2</sub>	J <sub>2,3</sub>	J <sub>3,4</sub>	J <sub>4,5</sub>
(8)	- $\alpha$ -ManUA-	5,05 $\delta$	5,20 $\tau$	5,33–5,44 <sub>M</sub>	4,59 $\delta$	3,0	3,0	8,7	7,3	2,8	8,7
	-2)- $\alpha$ -ManUA	4,97 $\delta$	4,05 $\tau$	5,34–5,40 <sub>M</sub>	4,33 $\delta$	3,9	2,7				7,3
(9)	$\beta$ -ManUA-	4,87 $c$	5,41 $\delta$	5,34 <sub>T</sub>	3,94 $\delta$	3,3	3,3				10,0
	-2)- $\alpha$ -ManUA	4,89 $\delta$	4,17 $\ddpl$	5,30 $\delta$	4,30 $\delta$	4,7	3,4				6,4
(10)	- $\alpha$ -ManUA-	5,07 $\delta$	5,20 $\tau$	5,34–5,37 <sub>M</sub>	4,54 $\delta$	3,0	3,0				
	-2)- $\alpha$ -ManUA	4,98 $\delta$	4,06 $\tau$	5,37 $\delta$	4,54 $\delta$	3,9	2,8	7,9	7,1		
(11)	$\beta$ -ManUA-	4,95 $\delta$	4,22 $\ddpl$	5,35 $\delta$	4,37 $\delta$	5,0	3,2	7,2	6,3		
	-2)- $\alpha$ -ManUA	4,90 $\delta$	5,48 $\ddpl$	5,39 $\tau$	3,94 $\delta$	0,6	3,3	10,0	10,0		
(12)	- $\alpha$ -ManUA-	4,84 $\delta$	5,01 $\delta$	5,40 $\tau$	4,48 $\delta$	2,4	3,7	9,2	9,2		
	-3)- $\alpha$ -ManUA	5,17 $\delta$	5,25 $\ddpl$	5,23 $\delta$	4,21 $\delta$	2,8	3,1				
(13)	$\beta$ -ManUA-	4,68 $\delta$	5,26 $\delta$	5,11 $\delta$	5,23 $\delta$	1,0	6,2				
	-3)- $\alpha$ -ManUA	4,81 $\delta$	5,25 $\ddpl$	4,15 $\delta$	4,25 $\delta$	2,1	3,4				
(14)	- $\alpha$ -ManUA-	5,17 $\delta$	5,03 $\delta$	5,25 $\delta$	3,38 $\delta$	4,46 $\delta$	1,9	3,1	9,3		
	-3)- $\alpha$ -ManUA	4,85 $\delta$	5,25 $\ddpl$	4,26 $\delta$	4,23 $\delta$	2,3	3,2				
(15)	$\beta$ -ManUA-	4,81 $\delta$	5,24 $\ddpl$	5,13 $\delta$	3,95 $\delta$	1,7	3,2	9,7			
	-3)- $\alpha$ -ManUA	4,68 $\delta$	5,24–5,28 <sub>M</sub>	4,12 $\delta$	4,25 $\delta$	0,8	3,5				
(16)	- $\alpha$ -ManUA-	5,18 $\delta$	5,05 $\delta$	5,25 $\delta$	5,26 $\delta$	4,22 $\delta$	2,5	2,6			
	-4)- $\alpha$ -ManUA	4,71 $\delta$	5,24 $\ddpl$	5,25–5,31 <sub>M</sub>	4,23–4,33 <sub>M</sub>	1,8	3,8				
(17)	$\beta$ -ManUA-	4,83 $\delta$	5,30 $\delta$	5,03 $\delta$	5,34 $\delta$	4,02 $\delta$	9,7	3,0			
	-4)- $\alpha$ -ManUA	4,70 $\delta$	5,14 $\delta$	5,33 $\delta$	4,24 $\delta$	4,15 $\delta$	1,8	3,4			
(18)	- $\alpha$ -ManUA-	5,20 $\delta$	5,08 $\delta$	5,28–5,37 <sub>M</sub>	4,22 $\delta$	2,4	2,7				
	-4)- $\alpha$ -ManUA	4,73 $\delta$	5,25 $\delta$	5,29–5,34 <sub>M</sub>	4,24–4,37 <sub>M</sub>	1,7	3,3				
(19)	$\beta$ -ManUA-	4,82 $\delta$	5,14 $\delta$	5,04 $\delta$	5,31 $\delta$	3,97 $\delta$	1,2				
	-4)- $\alpha$ -ManUA	4,70 $\delta$	5,24 $\delta$	5,20 $\delta$	4,21 $\delta$	4,13 $\delta$	1,3	3,3	10,0	9,4	
(20)	$\alpha$ -ManUA-	5,41 $\delta$	4,94 $c$	4,06 $\delta$	4,22 $\delta$	4,22 $\delta$	1,7	3,1	9,5	9,5	
	- $\delta$ - $\alpha$ -ManUA				4,01 $\delta$	4,17 $\delta$	5,5	5,5	7,0	9,7	

Таблица 2 (продолжение)

Шифр соединения	Составок	Химические свидетели, м. д.					КССВ, Гц		
		H1	H2	H3	H4	H5	J <sub>1,2</sub>	J <sub>2,3</sub>	J <sub>3,4</sub>
21	$\beta$ -ManUA- <sub>-4</sub>	4,89д 4,93д	5,39дд 4,06дд	5,04дд 4,97дд	5,44дд 3,95дд	4,05д 4,10д	1,0 1,0	3,2 5,6	10,0 6,7
(22)	$\alpha$ -ManUA- <sub>-4</sub>	5,24д 4,95д	5,25дд 4,08дд	5,22дд 4,24дд	5,34дд 4,02дд	4,20д 4,15д	1,7 1,0	3,3 5,7	9,6 7,0
(23)	$\beta$ -ManUA- <sub>-4</sub>	4,85д 4,88д	5,33дд 4,03дд	5,01дд 4,30дд	5,35дд 3,90дд	4,58д 4,05д	1,0 1,0	3,3 5,6	10,0 9,3
(24)	$\alpha$ -ManUA- <sub>-4</sub> -Rha	5,03д 4,81с	5,18м 4,06—4,12м	5,30—5,42м 3,40м	4,77м 3,67д	4,77м 5,08д	1,7 1,7	3,3 5,4	10,0 7,5
(24 <sup>a</sup> )	$\alpha$ -ManUA- <sub>-4</sub> - $\alpha$ -Rha	5,04д 4,75с	5,48дд 3,98д	5,78дд 3,82дд	5,84дд 3,45дд	3,27—3,39м 6	1,7 1,7	3,3 5,4	10,0 7,5
(25)	$\beta$ -ManUA- <sub>-4</sub> - $\alpha$ -Rha	6	4,05—4,12м	3,35—3,44м	3,35—3,44м	3,35—3,44м	1,5	3,3	10,0 9,5
(25 <sup>a</sup> )	$\beta$ -ManUA- <sub>-4</sub> - $\alpha$ -Rha	5,49с 4,86с	5,77д 4,06д	5,22дд 3,98дд	5,92т 3,95т	3,50—3,62м	1,6	3,0 3,0	10,0 9,3
(26 <sup>a</sup> )	$\alpha$ -ManUA- <sub>-4</sub> - $\alpha$ -Rha	5,11д 4,79д	5,60дд 4,03д	5,85дд 3,87дд	5,95дд 3,53дд	5,14д 3,35м	5,3 5,3	9,8 7,4	9,7 9,6
(27 <sup>a</sup> )	$\beta$ -ManUA- <sub>-4</sub> - $\alpha$ -Rha	5,26е 4,90с	5,79д 4,12д	5,29дд 4,00—4,09м	5,84дд 3,96дд	4,04д 3,65м	4,04д 4,40м	3,2 4,4	9,5 9,5
(49)	$\alpha$ -ManUA- <sub>-3</sub> - $\alpha$ -ManUA	4,82д 5,14д	5,00т 5,22—5,26м	5,19—5,26м 4,20—4,26м	5,37дд 5,33д	4,40м 4,23д	2,8 2,8	2,8 3,1	8,1 9,1
(50)	$\beta$ -ManUA- <sub>-3</sub> - $\alpha$ -ManUA	4,72с 4,79л	5,22—5,24м 5,21дд	5,12дд 4,14дд	5,30дд 5,24дд	4,04д 4,20д	3,99м 4,29д	3,1 1,8	8,9 8,6
(51)	$\alpha$ -ManUA- <sub>-2</sub> - $\alpha$ -ManUA	5,08д 4,99д	5,21дд 4,09	5,34—5,42м 5,30дд	5,34—5,42м 5,30дд	4,54д 4,32д	3,1 3,8	2,5 2,7	8,6 7,2
(52)	$\alpha$ -ManUA- <sub>-4</sub> - $\alpha$ -ManUA	5,15д 4,70д	5,05дд 5,22дд	5,28дд 5,28м	5,28дд 5,07м	4,32д 4,24—4,33м	4,17д 3,95д 5,11д	3,5 1,7	7,5 8,7
(53)	$\beta$ -ManUA- <sub>-4</sub> - $\alpha$ -ManUA	4,85с 4,70д	5,28м 5,09т	5,07м 5,31м	5,33т 4,21дд	4,24—4,33м 5,11д	3,0 1,7	3,0 10,0	8,7 10,0

\* Мультиплетность сигналов: с — синглет, д — дублет, дд — дублет дублетов, т — триплет, м — мультиплет. КССВ — константы спин-спинового взаимодействия  $J_{i_1 i_2}$ .

<sup>a</sup> Спектр смеси в  $C_6D_6$ .

<sup>b</sup> Сигналы не идентифицированы из-за перекрывания с другими сигналами колышевых протонов.  
В спектрах являются все сигналы яичниковых групп соединений (8) — (27) и (51) — (56). Химические славиты сигналов ОМе лежат в области 3,34—3,59 м. д. (в  $C_6D_6$ : 4,58—4,72), сигналов  $CO_2Me$  — 3,67—3,82 (в  $C_6D_6$ : 3,25—3,42), сигналов  $OAc$  — 1,73—2,18 (в  $C_6D_6$ : 1,58—1,72) м. д., сигналов  $CH_2Ph$  — 4,90—5,16, сигналов  $CMe_2$  — 1,42—1,55, сигналов  $H_6$  ( $R_{H_6}$ ) — 1,02—1,40 м. д.,  $J_{6,5} = 5,9$  Гц.

Таблица 3

Данные спектров  $^{13}\text{C}$ -ЯМР ( $\text{CDCl}_3$ ,  $\delta$ , м. д.) производных дисахаридов (8)–(27)

Шифр	$\text{C}1'$ $\text{C}1$ ( $^{1}\text{J}_{\text{C}1'}$ , $\text{H}1'$ )	$\text{C}2'$ $\text{C}2$	$\text{C}3'$ $\text{C}3$	$\text{C}4'$ $\text{C}4$	$\text{C}5'$ $\text{C}5$	$\text{OCH}_3$	$\text{CO}_2\text{CH}_3$	$\text{CH}_3\text{CO}$	$\text{CO}$
(8)	97,6(173) 98,65(173)	68,5 74,7	68,0 68,6	66,8 * 67,5 *	70,0 70,2	55,8	52,4	20,4; 20,5; 20,3; 20,35	167,4; 168,0; 169,1; 169,2; 169,5
(9)	98,5(173) 97,0(161,2)	68,2 71,5	70,3 69,3	66,7 67,7	73,0 71,1	56,2	52,5	20,3; 20,5; 20,9	166,3; 168,3; 169,4; 169,6; 169,9; 170,2
(10)	97,6(173) 98,9(173)	68,6 74,7	68,1 68,8	67,1 67,7	70,2 70,45	56,0	52,5	20,5; 20,55	168,0; 169,2; 169,3; 169,6
(11)	98,6(171) 97,0(163)	68,2 71,6	70,2 69,4	66,75 67,7	73,0 71,0	56,15	52,5 52,6	20,5; 20,6	166,9; 168,2; 169,3; 169,7; 169,8; 170,1
(12)	98,7(173) 98,2(173)	69,25 67,8	70,1 73,9	70,1 68,7	70,4 69,8	55,9	52,9	20,6; 20,8	168,3; 169,5; 169,8; 170,1
(13)	95,8(173) 99,3(161)	66,6 67,4	70,0 73,6	67,1 68,0	73,0 69,5	55,8	52,8	20,6; 20,7	166,7; 168,3; 169,7; 169,9; 170,1; 170,8
(14)	98,2(173,3) 98,6(170,1)	69,2 70,0	67,5 73,85	66,8 69,65	70,2 69,7	55,9	52,87 52,94	20,6; 20,64; 20,7; 20,9	168,1; 168,3; 169,5; 169,9; 170,4
(15)	95,8(173,3) 99,2(161,1)	68,0 66,9	69,9 73,6	67,1 67,4	72,9 69,4	55,8	52,7 52,8	20,6; 20,7	167,3; 168,3; 169,8; 170,0; 170,8
(16)	98,8(173) 99,0(166)	69,3 69,2	67,8 66,8	74,4 70,7	70,2 71,05	55,8	52,8	20,4; 20,6; 20,9	166,6; 169,9; 170,0
(17)	98,7(173) 99,0(166)	67,8 * 70,0	70,5 68,3	66,8 74,4	73,4 71,2	55,7	53,0	20,45; 20,6; 20,7; 20,8; 21	166,6; 169,6; 170,1; 170,6
(18)	98,6(173,9) 99,1(175,8)	69,2 69,3	67,8 70,7	68,9 74,3	70,2 71,1	55,8	52,9	20,6; 20,8	168,1; 168,7; 168,9
(19)	98,8(178,2) 99,0(161,1)	68,1 69,8	70,3 68,2	68,8 74,7	73,3 70,2	55,9	52,9; 53,0	20,65; 20,9 20,4;	167,2; 169,2; 170,6
(20)	96,4(171) 98,9(178)	69,0 75,4	68,3 77,4	68,7 74,2	68,1 69,8	55,6	52,6	20,4; 20,6	167,6; 169,5; 169,6; 169,7; 170,0
(21)	98,9(171) 98,4(159)	68,1 75,0	70,5 75,9	66,4 78,2	68,0 73,0	55,4	52,6	20,4; 20,8	166,35; 169,4 170,4
(22)	98,7(170,9) 96,0(175,8)	75,25 68,8 *	77,2 68,8 *	73,8 66,5	67,8 69,6	55,4	52,5	20,5; 20,6; 20,7	167,8; 169,3; 169,5; 169,55; 169,8
(23)	98,9(170,9) 98,45(161)	69,2 * 68,1	70,5 76,0	66,6 * 78,1	73,1 75,1	55,7	52,7	20,5; 20,6; 20,8	169,8; 169,9; 170,0
(24) **	98,1(166) 98,1(168,5)	69,7 76,7	69,0 76,8	67,6 81,0	70,4 84,7	54,2	—	20,0; 20,2	166,8; 169,5; 169,7
(25) **	96,8(166) 98,3(161)	69,2 76,6	69,4 73,8	67,45 78,3 *	78,1 * 64,1	54,3	—	20,1	166,7; 169,2; 169,5; 169,7
(26) **	98,1(166) 98,4(173)	69,7 76,7	69,0 76,8	67,5 81,0	70,4 64,7	54,2	51,8	20,0; 20,2	168,8; 169,6; 170,0
(27) **	96,75(166) 98,3(163)	69,2 76,7	71,3 73,6 *	67,6 78,2	78,3 64,1	54,3	52,1	20,1; 20,2; 20,4	167,45; 168,6; 169,3

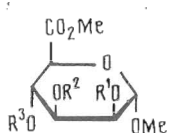
\* Отнесение сигналов для данного производного может быть обратным.

\*\* Спектр снят в  $\text{C}_6\text{D}_6$ .

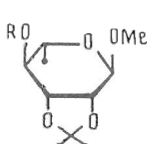
Помимо сигналов, перечисленных в таблице, спектры соединений (8)–(27) содержат сигналы всех других функциональных групп:  $\text{CH}_2\text{Ph}$  (в области 87,4–87,85 м. д.),  $\text{C}_6\text{H}_5$  (128,4–135,1 м. д.),  $\text{C}(\text{CH}_3)_2$  (20,0–27,7 м. д.),  $\text{CMe}_2$  (109,4–110,4 м. д.),  $\text{C}_6(\text{R})_3\text{Ar}$  — 17,2 м. д. (для (24) и (26)) и 17,7 м. д. (для (25) и (27)).

Кроме основных продуктов — производных дисахаридов (8)–(27) — из реакционных смесей выделены в небольших количествах продукты побочных реакций, обычно сопровождающих реакцию тритиля-цианоэтилиденовой конденсации. Они образуются из гликозилируемых тритиловых эфиров и гликозилирующих ЦЭП. Так, были выделены моногидроксильные

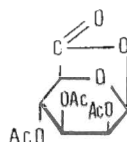
производные (28)–(30), (32) и (33), а также ацетаты (31) и (34), образующиеся, по-видимому, в результате дегидрирования гликозилакцепторов и последующего ацетилирования. Из гликозилдоноров образуется незначительное количество 1,6-лактона D-маннуроновой кислоты (35), тритилгликозидов (36) и (37), гликозилцианидов (38) и (39), а также бензилманныопирануроната (40).



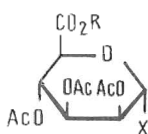
- (28)  $R^1 = H$ ,  $R^2 = R^3 = Ac$   
 (29)  $R^2 = H$ ,  $R^1 = R^3 = Ac$   
 (30)  $R^3 = H$ ,  $R^1 = R^2 = Ac$   
 (31)  $R^1 = R^2 = R^3 = Ac$   
 (32)  $R^3 = H$ ,  $R^1 \text{ и } R^2 = CMe_2$



- (33)  $R = H$   
 (34)  $R = Ac$



(35)



- (36)  $R = Bn$ ,  $X = OTf$   
 (37)  $R = Me$ ,  $X = OTf$   
 (38)  $R = Bn$ ,  $X = CN$   
 (39)  $R = Me$ ,  $X = CN$   
 (40)  $R = Bn$ ,  $X = OH$

Строение этих соединений следовало из данных  $^1H$ - и  $^{13}C$ -ЯМР-спектров (см. «Экспериментальную часть», [2]). В связи с идентификацией побочных соединений, предполагаемых продуктов дегидрирования гликозилакцепторов (1)–(3), было изучено дегидрирование эфиров (1)–(3) под действием кислот. Дегидрирование соединений (1)–(3) водным раствором 80% уксусной кислоты аналогично [7] в течение 2 ч приводило к диацетатам (28)–(30) наряду со значительным количеством (до 40%) изомерных диацетатов, образующихся в результате миграции ацетильной группы. При добавлении 5% трифтормукосной кислоты реакция дегидрирования протекает быстрее (вместо 2–3 ч за 10–30 мин), и из реакционных смесей были выделены моногидроксильные производные (28)–(30) с выходами 68–75%, а также небольшое количество продуктов миграции ацетильной группы. Диацетаты (28)–(30), полученные при дегидрировании гликозилакцепторов (1)–(3), были идентичны соединениям, полученным в качестве побочных продуктов при гликозилировании (1)–(3) кеталем (6) и (7).

Недавно было установлено, что применение высокого давления (до 14 кбар) позволяет значительно повышать стереоселективность реакции тритил-дианоэтиленовой конденсации [8–12]. В связи с этим значительный интерес представляло изучение влияния давления 14 кбар в нашем случае. При атмосферном давлении гликозилирование 3-тритилового эфира (2) кеталем (7) в присутствии 10%  $TrClO_4$  прошло с наихудшим, по сравнению с другими тритиловыми эфирами, результатом: преобладал 1,2-*цикло*-связанный дисахарид. Реакция гликозилирования эфира (2) кета-

Таблица 4

**Данные спектров  $^{13}\text{C}$ -ЯМР ( $\text{D}_2\text{O}$ , 6, м.д.) частично защищенных производных дисахаридов (41), (42), (45) и (46)**

Шифр соединений	C1' C1	C2' C2	C3' C3	C4' C4	C5' C5	OMe	CO <sub>2</sub> Me
(41)	102,9	70,4	78,6	69,0	73,4	—	172,4
	102,0	69,7	70,8	68,2	73,2	54,0	172,5
(42)	98,2	71,2	73,3	68,9	77,8	—	172,0
	102,2	67,4 *	75,9	67,4 *	72,6	54,1	172,7
(45)	103,1	71,2	71,5	70,0	74,7	—	176,4
	102,0	70,4	79,2	69,2	74,6	56,7	176,8
(46)	97,9	71,9	74,1	69,8	77,3	—	176,8
	102,0	67,9	77,8	68,3	74,1	56,3	177,2

\* Отнесение сигналов может быть обратным.

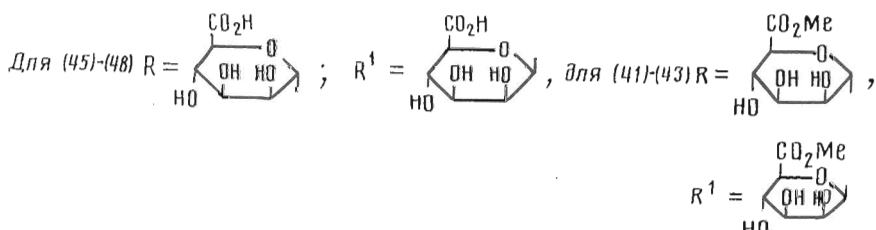
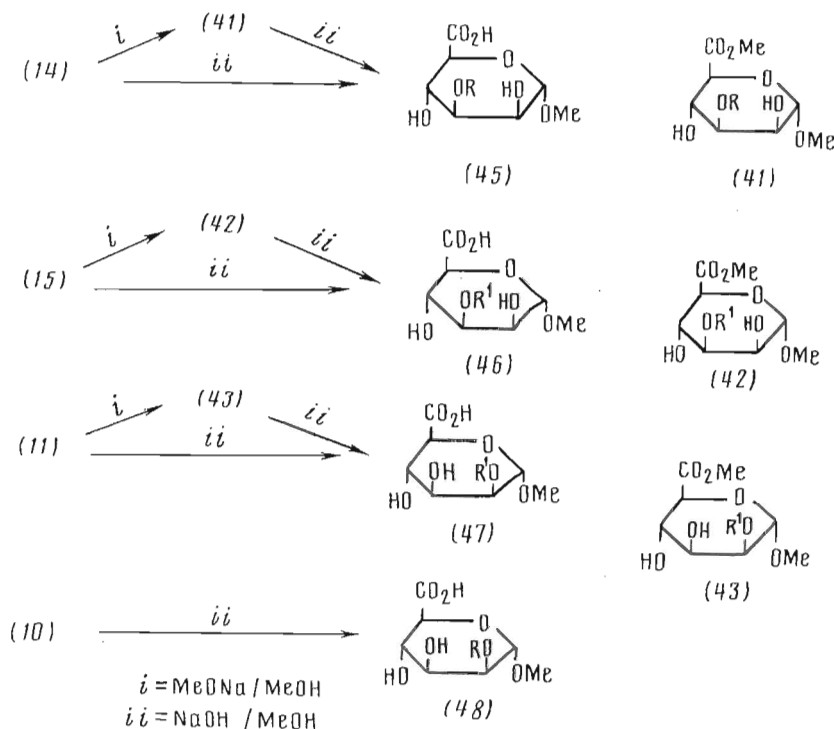
лями (6) и (7) под давлением 14 кбар в течение 19–70 ч была проведена в условиях, аналогичных описанным в работе [11] (табл. 1, опыты 12–16). Оказалось, что стереоселективность гликозилирования ЦЭП D-маннуроновой кислоты (6) под давлением повышается и соотношение изомеров  $\alpha : \beta$  увеличивается примерно в 3 раза (табл. 1, опыты 13, 14). Ранее было установлено [11], что оптимальным количеством катализатора в реакции под давлением является 4%, поэтому мы провели гликозилирование и в этих условиях (табл. 1, опыт 12).

При проведении реакции гликозилирования в течение 17 ч дисахаридные производные не обнаружены. Продуктами реакции были диацетаты (28) и (29) и бензилманинопирануронат (40). Основная часть исходных соединений в реакцию не вступила. С увеличением количества катализатора до 6% (опыт 13) и 10% (опыт 14) суммарный выход дисахаридов (12) и (13) и их соотношение возрастают. Однако полной стереоспецифичности в нашем случае (при различных количествах катализатора) достичь не удается, что подтверждено и при гликозилировании тритиолового эфира (2) ЦЭП (7) (табл. 1, опыты 15, 16). Обращает на себя внимание тот факт, что среди побочных продуктов реакции гликозилирования кеталем (7) были выделены только соединения, образующиеся из гликозилакцептора (2) – диацетаты (28) и (29), в то время как при реакции с кеталем (6) образуются и продукты побочных реакций из гликозил-донора.

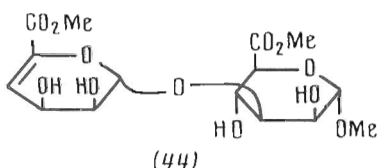
Для получения свободных диманнуроновых кислот были исследованы способы удаления защитных групп (OAc, CO<sub>2</sub>Me), что, как известно, в ряду уроновых кислот представляет определенные трудности. Производные (1–4)-связанных дисахаридов не исследовались ввиду легкости образования непредельной  $\Delta 4,5$ -связи при обработках подобных соединений в щелочной среде. Метилгликозиды диманнуроновых кислот были получены из (1–2)- и (1–3)-связанных ацетилированных производных дисахаридов (10), (11), (14) и (15) двумя способами.

Сначала мы провели ступенчатое удаление защитных групп: в первую очередь удалили ацетильные группы действием метилата натрия в метаноле (см. «Экспериментальную часть»). При этом из пентаацетатов (11), (14) и (15) получили метоксикарбонильные производные пентаалолов (41)–(43) с высокими выходами (больше 80%) (схема 3).

Схема 3



При дезацетилировании (1–3)-связанного дисахарида (14) было выделено также незначительное количество дисахарида (44), образовавшегося в результате транс-элиминирования по 4,5-связи аналогично [13].



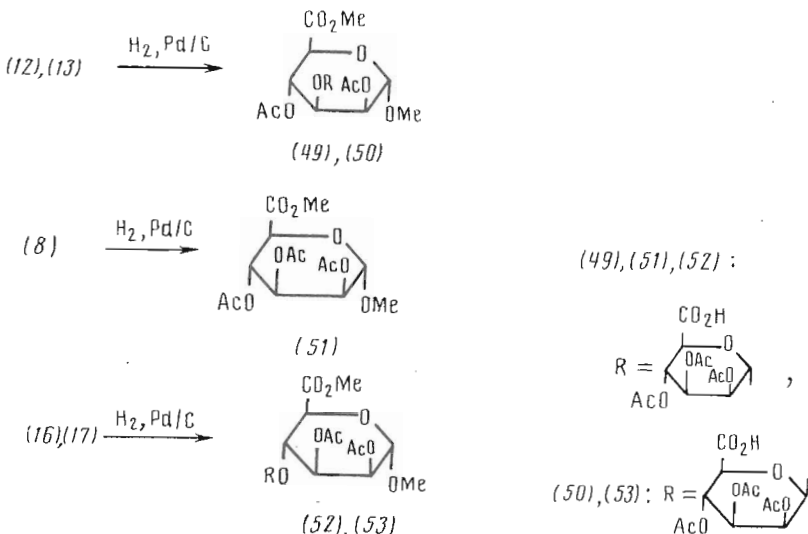
Затем действием водно-метанольного раствора NaOH (~2%) на производные (41)–(43) были получены метилгликозиды диманнуроновых кислот (45)–(47) с выходами около 90%, охарактеризованные в виде солей калия (табл. 4, 5).

Целевые метилгликозиды диманнуроновых кислот (45)–(48) удалось получить и действием водно-метанольного 2% NaOH на защищенные дисахариды (10), (11), (14) и (15). Эта реакция проходит быстро (5–10 мин) и эффективно (выходы 92–95%) приводит к целевым дисахари-

дам (45)–(48). Судя по полученным результатам, второй вариант удаления защитных групп более удобен.

В связи с дальнейшими синтетическими исследованиями интересным представлялось получить дисахариды, содержащие только одну незащищенную карбоксильную группу. Для этого мы использовали дисахариды (8), (12), (13), (16) и (17), в которых один из карбоксилов защищен бензильной группой. Гидрогенолиз над Pd/C этих соединений в подкисленном растворе этилацетата быстро (за 15–30 мин) и эффективно (выходы 92–96%) приводит к дисахаридам (49)–(53), охарактеризованным спектрами  $^1\text{H}$ -ЯМР в виде калиевых солей (табл. 4) (схема 4).

Схема 4



Подводя итоги этого исследования, необходимо отметить, что для получения различных производных труднодоступных диманиуроновых кислот описанный в работе путь представляется достаточно удобным в препаративном отношении, несмотря на низкую стереоселективность реакции гликозилирования. При этом нужно учесть, что получающиеся изомеры могут быть разделены без особых затруднений.

### Экспериментальная часть

Оптическое вращение измеряли на поляриметре DIP-360 (Jasco, Япония) в хлороформе, если специально не оговорено. Спектры ЯМР сняты при  $\sim 25^\circ\text{C}$  в  $\text{CDCl}_3$  и  $\text{D}_2\text{O}$  на приборах Bruker WM-250 и AM-300 с рабочей частотой 250 и 300 МГц по  $^1\text{H}$  и 62,89 и 75 МГц по  $^{13}\text{C}$  соответственно (внутренний стандарт — тетраметилсиликан, для растворов в  $\text{D}_2\text{O}$  — метанол,  $\delta$ -шкала). Отнесение ключевых сигналов в спектрах  $^1\text{H}$ -ЯМР выполнено при помощи селективного гомоядерного резонанса, в спектрах  $^{13}\text{C}$ -ЯМР — методом селективного гетероядерного резонанса, для подтверждения конфигураций аниомерного центра в производных дисахаридов измеряли  $^3J_{\text{C}_1, \text{H}_1}$ .

Хроматографию в тонком слое (ТХ) осуществляли на пластинках с закрепленным слоем силикагеля Kieselgel 60  $\text{F}_{254}$  (Merck, ФРГ). Зоны обнаруживали опрыскиванием  $\sim 10\%$   $\text{H}_2\text{SO}_4$  в этаноле с последующим нагреванием при  $\sim 150^\circ\text{C}$ , в случае соединений с двойными связями зоны

Таблица 5

Данные  $^1\text{H}$ -ЯМР-спектров ( $\text{D}_2\text{O}$ ) производных дисахаридов (41)–(48) \*

Шифр соединений	Остаток	Химические сдвиги, м.д.					КССВ, Гц				OMe
		H1	H2	H3	H4	H5	$J_{1,2}$	$J_{2,3}$	$J_{3,4}$	$J_{4,5}$	
(41)	$\alpha$ -ManUA	5,17д	4,01дд	3,86–3,96м	4,35дд	2,0	2,8			9,0	
	3)- $\alpha$ -ManUA	4,84д	4,04т	3,94дд   4,10т	4,29д	2,7	3,2	8,3	8,3	3,47с	
(42)	$\beta$ -ManUA	4,87д	4,13т	3,99–4,06м	4,22м	2,0	2,6			9,1	
	3)- $\alpha$ -ManUA	4,89дд	4,07т	3,71д   3,83т	3,99д	0,9	3,1	9,5	9,4	3,43с	
(43)	$\beta$ -ManUA	4,88д	4,10дд	3,71дд   3,97т	4,24д	0,8	3,2	9,4	8,5		
	2)- $\alpha$ -ManUA	4,97д	4,12т	3,88дд   3,85т	4,00д	2,5	3,1	9,0	9,6	3,47с	
(44)	$\alpha$ -ManUA (Δ4,5)	5,12д	4,10тт	4,57дд   6,23дд	—	3,5	4,4	2,7			
	3)- $\alpha$ -ManUA	5,19д	4,02т	3,89–4,06м	4,73м	2,3	2,6			3,54с	
(45)	$\alpha$ -ManUA	5,16д	4,06м	3,94дд   3,87дд	4,15д	1,7	3,0	9,0	9,0		
	3)- $\alpha$ -ManUA	4,86д	4,05т	3,98–4,08м	3,88д	2,7	2,7		9,2	3,46с	
(46)	$\beta$ -ManUA	4,89с	4,07д	3,69–4,08м			2,2				
	3)- $\alpha$ -ManUA	4,88д	4,16дд	4,11м   3,97–4,04м						3,47с	
(47)	$\beta$ -ManUA	4,84д	4,07дд	3,71дд   3,78–3,81м	0,7	2,8		9,5			
	2)- $\alpha$ -ManUA	4,92д	4,13дд	3,82–3,88м   4,19м	2,0	2,7				3,44с	
(48)	$\alpha$ -ManUA	5,13д	4,08дд	3,69дд   3,78–3,84м	2,2	3,0		9,7			
	2)- $\alpha$ -ManUA	4,97д	4,00дд	3,86–3,93м   4,02–4,06 м	1,8	2,8				3,43с	

\* Мультиплетность сигналов: с — синглет, д — дублет, дд — дублет дублетов, т — триплет, тр — дублет триплетов, м — мультиплет. КССВ — константа спин-спинового взаимодействия  $J_{i, i+1}$ . Помимо сигналов перечисленных в таблице, в спектрах имеются сигналы группы CO<sub>2</sub>Me: для соединения (41) 3,83с и 3,85с; (42) — 3,83с и 3,84с, (43) — 3,85с, сигнал удвоенной интенсивности, (44) — 3,84с и 3,85с.

предварительно фиксировали в УФ-свете. Колоночную хроматографию (KX) проводили на силикагелях L 40×100, 100×250 (Chemapol, Чехо-Словакия) и Kieselgel 60 (Merck, ФРГ) с градиентным вымыванием. Препаративную ВЭЖХ проводили на колонке (250×24 мм) с сорбентом Silasorb 600 (10 мкм, Чехо-Словакия); аналитическую ВЭЖХ — на колонке (250×4 мм) с сорбентом Silasorb 600 (5 мкм) при использовании насоса Gilson, модель 303 (Франция) и УФ-детектора ISCO, модель VA-5 (254 нм). Для работы использовали перегнанные растворители.

Дихлорметан промывали конц. H<sub>2</sub>SO<sub>4</sub>, водой, насыщенным водным раствором NaHCO<sub>3</sub>, водой, сушили и перегоняли над K<sub>2</sub>CO<sub>3</sub>, затем над CaH<sub>2</sub>. Эфир, пиридин, 2,4,6-коллидин сушили KOH, перегоняли над KOH, затем над CaH<sub>2</sub>. Нитрометан перегоняли над мочевиной. Бензол и CH<sub>2</sub>Cl<sub>2</sub> для реакции гликозилирования дважды перегоняли над CaH<sub>2</sub> при 10<sup>-3</sup> торр. Перхлорат трифенилметилия TrClO<sub>4</sub> синтезировали как описано в работе [2], дополнительно очищали как описано в [14]. Органические растворы перед упариванием в вакууме при 40±5°C сушатали фильтрованием через вату.

Синтез производных дисахаридов (8)–(27), опыты 1–11 (общая методика). Реакцию проводили в  $\lambda$ -образных ампулах, снабженных вакуумным краном и шлифом, позволяющим присоединять их к вакуумной установке (вакуум 10<sup>-3</sup> торр), как описано в работе [3]. В один отросток ампулы помещали раствор 0,1 ммоль TrClO<sub>4</sub> в 0,2 мл CH<sub>3</sub>NO<sub>2</sub> (опыты 1–10) или 0,04 ммоль TrClO<sub>4</sub> (опыт 11), а в другой — раствор 1,1 ммоль тритилового эфира (1)–(5) и 1 ммоль кетала (6), (7) в 2–3 мл подходящего растворителя (бензол, дихлорметан, нитрометан). Ампулы присоединяли к вакуумной установке и растворы лиофилизовали дважды, затем в отвод с реагентами перегоняли по 3 мл бензола и, после полного растворения веществ, лиофилизовали, остаток сушатали при ~50°C около 1 ч.

В ампулы перегоняли по 2 мл дихлорметана, заполняли сухим аргоном и смешивали реагенты с катализатором. Полученный ярко-желтый или оранжевый раствор оставляли при  $\sim 20^\circ\text{C}$  на 17 ч в темноте. По данным ТСХ, в растворах, приобретших более темную окраску, исходные кетали (6) и (7) отсутствовали, реакцию останавливали добавлением 0,05 мл пиридина, содержащего 2% воды. Через 1 ч обесцвечивающиеся реакционные смеси разбавляли 60 мл хлороформа, промывали водой ( $3 \times 30$  мл), сушили, упаривали досуха, остаток подвергали КХ (бензол  $\rightarrow$  80% этилацетата в бензole). Выделенные вещества (см. табл. 1) (индивидуальные или в смеси) исследовали с помощью ЯМР-спектроскопии. Спектральные данные производных дисахаридов (8)–(27), выделенных при помощи КХ и ВЭЖХ, объединены в табл. 2 и 3.

*Побочные продукты.* Диацетат (28) обнаружен в опытах 1–3, 11–13, 15 и 16; диацетат (29) – в опытах 1–4, 11–16; триацетат (31) – в опытах 2–4, 6, 13, 14; ацетонид (32) – в опытах 7, 8; лактон (35) – в опытах 1, 3, 5; тритиогликозид (36) – в опытах 1, 3, 7, 8; тритиогликозид (37) – в опытах 4, 6; гликозилцианид (38) – в опытах 3, 7; гликозилцианид (39) – в опыте 6; гидроксилсодержащее производное (40) – в опытах 3, 12–14.

*1,6-Лактон D-маннуроновой кислоты (35).*  $^1\text{H}$ -ЯМР ( $\delta$ , м. д.): 2,07; 2,42 и 2,17 (3c, 3Н каждый, Ac), 4,58т (1Н,  $J_{5,4}$  1,7 Гц, H5), 4,92т (1Н,  $J_{4,3}$  1,9 Гц, H4), 5,25дд (1Н,  $J_{2,3}$  5,0 Гц, H2), 5,41м (1Н, H3), 5,86т (1Н,  $J_{1,2}$  1,8 Гц, 1Н).

*Бензил(трити-2,3,4-три-O-ацетил- $\alpha$ -D-маннопиранозид)уронат (36).*  $^1\text{H}$ -ЯМР ( $\delta$ , м. д.): 2,03; 2,06 и 2,11 (3c, 3Н каждый, Ac), 4,12д (1Н, H5), 4,98дд (2Н,  $-\text{CH}_2-$ ), 5,28т (1Н,  $J_{4,5}$  10 Гц, H4), 5,31д (1Н,  $J_{1,2}$  1,8 Гц, H1), 5,38дд (1Н,  $J_{2,3}$  3,2 Гц, H2), 5,65дд (1Н,  $J_{3,4}$  10,0 Гц, H3), 7,21–7,47м (20Н аром.).

*Метил(трити-2,3,4-три-O-ацетил- $\alpha$ -D-маннопиранозид)уронат (37).*  $^1\text{H}$ -ЯМР ( $\delta$ , м. д.): 2,06; 2,07 и 2,10 (3c, 3Н каждый, Ac), 3,57с (OMe), 4,13д (1Н, H5), 5,30д (1Н, H1), 5,31т (1Н,  $J_{4,5}$  10,0 Гц, H4), 5,41дд (1Н,  $J_{2,1}$  2,0 Гц,  $J_{2,3}$  3,0 Гц, H2), 5,66дд (1Н,  $J_{3,4}$  10,0 Гц, H3), 7,19–7,54м (15Н, аром.).

*Бензил(2,3,4-три-O-ацетил-1-дезокси-1-циано- $\alpha$ -D-маннопиран)уронат (38).*  $^1\text{H}$ -ЯМР ( $\delta$ , м. д.): 2,08–2,12м (9Н, Ac), 3,78д (2Н,  $-\text{CH}_2-$ ), 3,95д (1Н, H5), 4,16–4,22м (1Н, H3), 4,52д (1Н,  $J_{1,2}$  2,5 Гц, H1), 4,72дд (1Н,  $J_{2,3}$  3,4 Гц, H2), 4,89т (1Н,  $J_{4,3}=J_{4,5}$  9,0 Гц, H4), 7,10–7,31м (5Н, аром.).

*Метил(2,3,4-три-O-ацетил-1-дезокси-1-циано- $\alpha$ -D-маннопиран)уронат (39).*  $^1\text{H}$ -ЯМР ( $\delta$ , м. д.): 2,10; 2,17 и 2,22 (3c, 3Н каждый, Ac), 3,80с (3Н, OMe), 4,10д (1Н,  $J_{5,4}$  8,2 Гц, H5), 4,73д (1Н,  $J_{1,2}$  2,2 Гц, H1), 5,38дд (1Н, H3), 5,44т (1Н,  $J_{4,3}$  9,0 Гц, H4), 5,58т (1Н,  $J_{2,3}$  3,1 Гц, H2).

В спектре  $^{13}\text{C}$ -ЯМР соединения (39) присутствует сигнал CN-группы (113,55 м. д.).

*Бензил(2,3,4-три-O-ацетил- $\alpha$ -D-маннопиран)уронат (40).*  $^1\text{H}$ -ЯМР ( $\delta$ , м. д.): 1,80; 1,97 и 2,16 (3c, 3Н каждый, Ac), 3,67–3,82м (1Н, OH), 4,60м (1Н,  $J_{5,4}$  9,1 Гц, H5), 5,16дд (2Н,  $-\text{CH}_2-$ ), 5,24т (1Н, H2), 5,30–5,40м (1Н, H1), 5,40–5,47м (2Н, H3, H4), 7,37м (5Н, аром.).  $[\alpha]_D^{27} +13,7^\circ$  (с 1).

*Гликозилирование под давлением 14 кбар (опыты 12–16; общая методика).* Гликозилирование проводили согласно [8, 9] в тефлоновой ампуле объемом 3,6 мл при  $\sim 20^\circ\text{C}$ . В ампуле смешивали 0,33 ммоль тритиолового эфира (2) и 0,3 ммоль ЦЭП (6) или (7) и 0,012 ммоль (опыты 12, 16), или 0,018 ммоль (опыт 13), или 0,03 ммоль (опыты 14, 15)  $\text{TrClO}_4$ . Ампулу герметизировали, замораживали в жидкем азоте ( $-196^\circ\text{C}$ ) и помещали в реактор высокого давления, охлажденный до 0–10°С. В течение 8 мин генерировали в нем давление 14 кбар, после чего температуру реактора доводили до  $\sim 20^\circ\text{C}$ . Через 19 ч (опыты 12, 13, 15), 40 ч (опыт 16),

70 ч (опыт 14) давление сбрасывали, ампулу вскрывали и после обработки реакционной смеси, аналогичной описанной выше, выделяли продукты реакции (табл. 1). ЯМР-спектральные характеристики полученных производных дисахаридов (12)–(15) идентичны полученным в опытах 3 и 4 (см. в табл. 2, 3).

*Детритилирование монотритиловых эфиров (1)–(3) (общая методика).* Растворили 0,3 ммоль тритилового эфира в 1 мл детритилирующей смеси (к 8 мл AcOH добавили 2 мл H<sub>2</sub>O, 0,5 мл CF<sub>3</sub>COOH) при нагревании до ~55°C и оставили на 10–30 мин (TCX-контроль: толуол – этилацетат, 4:1). Затем соупарили со смесью толуол – этанол – гептан, 5:1:1 (3×10 мл) и остаток (бесцветный кристаллизующийся сироп) подвергли КХ (бензол→60% этилацетата в бензole).

При детритилировании 2-тритилового эфира (1) получили смесь диацетатов (28) и (29) в соотношении 3,2:1 (выход 89%); R<sub>f</sub> 0,27–0,36 (толуол – этилацетат, 1:1). Рекроматографией выделены индивидуальные диацетат (28), R<sub>f</sub> 0,42 (толуол – этилацетат, 1:2), [α]<sub>D</sub><sup>28</sup> +70° (с 1) и диацетат (29), R<sub>f</sub> 0,47, [α]<sub>D</sub><sup>28</sup> +20,5° (с 0,9). Данные [15]: для (28) [α]<sub>D</sub><sup>23</sup> +175° (с 0,26), для (29) [α]<sub>D</sub><sup>23</sup> +29° (с 1,2). Данные <sup>1</sup>H-ЯМР-спектроскопии совпали с данными [15], данные <sup>13</sup>C-ЯМР-спектроскопии см. ниже.

Аналогично при детритилировании 3-тритилового эфира (2) получили 75% диацетата (29) и 14% диацетата (28), при детритилировании 4-тритилового эфира (3) получили 6% диацетата (29) и 76% диацетата (30), R<sub>f</sub> 0,53, [α]<sub>D</sub><sup>28</sup> +28° (с 1,0).

*Метил(метил-2,4-ди-O-ацетил-α-D-маннопиранозид)уронат* (28). <sup>13</sup>C-ЯМР (CDCl<sub>3</sub>, δ, м. д.): 20,8 и 21,0 (COCH<sub>3</sub>), 52,8 (CO<sub>2</sub>CH<sub>3</sub>), 55,9 (OCH<sub>3</sub>), 67,8 (C3), 69,2 (C5), 70,1 (C4), 71,7 (C2), 98,7 (C1), 168,5 и 170,6 (CO).

*Метил(метил-2,3-ди-O-ацетил-α-D-маннопиранозид)уронат* (29). <sup>1</sup>H-ЯМР (C<sub>6</sub>D<sub>6</sub>, δ, м. д.): 1,64 и 1,74 (2c, 3Н каждый, Ac), 2,94с (3Н, OMe), 3,26с (3Н, CO<sub>2</sub>Me), 4,21д (1Н, H5), 4,47т (1Н, J<sub>4,5</sub> 9,9 Гц, H4), 4,52д (1Н, J<sub>1,2</sub> 3,4 Гц, H1), 5,57дд (1Н, J<sub>3,4</sub> 9,9 Гц, H3), 5,50дд (1Н, J<sub>2,3</sub> 3,4 Гц, H2).

*Метил{метил-3-O-[метил(α- и β-D-маннопиранозил)уронат]-α-D-маннопиранозид}уронаты* (41) и (42). Растворили 104 мг (0,17 ммоль) смеси пентаацетатов 1→3 дисахаридов (14) и (15) в 2,5 мл абр. CH<sub>3</sub>OH, добавили 0,5 мл (0,05 ммоль) 0,1 н. CH<sub>3</sub>ONa и CH<sub>3</sub>OH (TCX-контроль: толуол – этилацетат, 1:1,5; хлороформ – метанол, 3:1). Через 1 ч к реакционной смеси прилили 0,3 мл 1 н. AcOH в толуоле, через 30 мин раствор упарили до сиропа и высушили в вакууме. Остаток (93 мг) подвергли КХ (бензол→хлороформ→метанол) и выделили 55 мг (80%) смеси пентаолов (41) и (42) в виде бесцветного сиропа. Кроме того, выделили 3 мг соединения (44) (выход 3%), R<sub>f</sub> 0,38 (CHCl<sub>3</sub> – CH<sub>3</sub>OH, 8:1).

С помощью ВЭЖХ выделили индивидуальные α-изомер (41), R<sub>f</sub> 0,40 (CHCl<sub>3</sub> – CH<sub>3</sub>OH, 3:1), [α]<sub>D</sub><sup>28</sup> +65,7° (с 2, CH<sub>3</sub>OH) и β-изомер (42), R<sub>f</sub> 0,51, [α]<sub>D</sub><sup>29</sup> –4,1° (с 1, CH<sub>3</sub>OH).

Аналогично из пентаацетата 1→2 дисахарида (11) получен *метил{метил-2-O-[метил(β-D-маннопиранозил)уронат]-α-D-маннопиранозид}уронат* (43), выход 82%, R<sub>f</sub> 0,57.

*[Метил-3-O-(α-D-маннопиранозилуроновая кислота)-α-D-маннопиранозид]уроновая кислота* (45). Растворили 24 мг (0,06 ммоль) дисахарида (41) в 1 мл CH<sub>3</sub>OH и добавили 0,3 мл водного 10% NaOH (TCX-контроль: AcOEt – AcOH – H<sub>2</sub>O – HCO<sub>2</sub>H, 18:4:3:1). Через 15 мин добавили KY-2-8 (H<sup>+</sup>-форма) и перемешивали 20 мин, затем смолу отделили фильтрованием, промыли ее водной 20% AcOH (2×15 мл). Раствор упарили, соупарили со смесью толуол – гептан – этанол, 5:1:1 (2×10 мл) и получили дисахарид (45) в виде пленки белого цвета. Выход 20 мг (93%), R<sub>f</sub> 0,16–0,26.

Аналогично, исходя из дисахарида (42), получили [метил-3-O-( $\beta$ -D-маннопиранозилуроновая кислота)- $\alpha$ -D-маннопиранозид] уроновую кислоту (46) с выходом 92%,  $R_f$  0,07–0,18, из дисахарида (43) [метил-2-O-( $\beta$ -D-маннопиранозилуроновая кислота)- $\alpha$ -D-маннопиранозид] уроновую кислоту (47) с выходом 93%,  $R_f$  0,12–0,26. Данные ЯМР-спектроскопии соединений (45)–(47) представлены в табл. 4, 5.

[Метил-2-O-( $\alpha$ -D-маннопиранозилуроновая кислота)- $\alpha$ -D-маннопиранозид] уроновая кислота (48). Растворили 68 мг (0,1 ммоль) дисахарида (10) в 2 мл  $\text{CH}_3\text{OH}$  и добавили 0,5 мл водного 10% NaOH (TCX-контроль: толуол — этилацетат, 1 : 1,5; AcOEt — AcOH —  $\text{H}_2\text{O} + \text{HCO}_2\text{H}$ , 18 : 4 : 3 : 1). Через 30 мин добавили КУ-2-8 ( $\text{H}^+$ -форма), перемешивали 30 мин, смолу отделяли фильтрованием, промывали ее водной 20% AcOH (2×20 мл). Раствор упарили, соупарили со смесью толуол — гептан — этанол, 5 : 1 : 1 (2×10 мл), и получили дисахарид (48) в виде пленки белого цвета. Выход 24 мг (95%).  $R_f$  0,11–0,26.

Аналогично из пентаацетата (14) был получен дисахарид (45), выход 91%; из пентаацетата (15) — дисахарид (46), выход 93%; из пентаацетата (11) — дисахарид (47), выход 92%.

Метил[метил-2,4-ди-O-ацетил-3-O-(2,3,4-три-O-ацетил- $\alpha$ -D-маннопирануроновая кислота)- $\alpha$ -D-маннопиранозид] уронат (49). Растворили 230 мг (0,33 ммоль) пентаацетата дисахарида (12) в 11 мл AcOEt, содержащего 10% AcOH, и гидрировали над 10% Pd/C в течение 30 мин (TCX-контроль: толуол — этилацетат, 1 : 1). Катализатор отделили фильтрованием, промыли 20% AcOH в AcOEt (20 мл), метанолом (50 мл), органический раствор упарили и соупарили со смесью толуол — гептан — этанол, 5 : 1 : 1 (2×20 мл). Получили дисахарид (49) в виде пены белого цвета, выход 190 мг (95%),  $R_f$  0,77 (AcOEt — AcOH —  $\text{H}_2\text{O} + \text{HCO}_2\text{H}$ , 18 : 4 : 3 : 1).

Аналогично из бензилового эфира (13) получили метил[метил-2,4-ди-O-ацетил-3-O-(2,3,4-три-O-ацетил- $\beta$ -D-маннопирануроновая кислота)- $\alpha$ -D-маннопиранозид] уронат (50), выход 97%,  $R_f$  0,71; из бензилового эфира (8) — метил[метил-3,4-ди-O-ацетил-2-O-(2,3,4-три-O-ацетил- $\alpha$ -D-маннопирануроновая кислота)- $\alpha$ -D-маннопиранозид] уронат (51), выход 95%,  $R_f$  0,72; из бензилового эфира (16) — метил[метил-2,3-ди-O-ацетил-4-O-(2,3,4-три-O-ацетил- $\alpha$ -D-маннопирануроновая кислота)- $\alpha$ -D-маннопиранозид] уронат (52), выход 92%,  $R_f$  0,70, а из эфира (17) — его  $\beta$ -изомер (53), выход 92%,  $R_f$  0,71. Данные  $^1\text{H}$ -ЯМР-спектроскопии см. в табл. 2.

$^{13}\text{C}$ -ЯМР ( $\text{CDCl}_3$ ,  $\delta$ , м. д.): для (50) — 20,6 и 20,8 (Ac), 52,9 ( $\text{CO}_2\text{CH}_3$ ), 55,9 ( $\text{OCH}_3$ ), 67,1; 67,6; 68,0; 69,5; 69,8; 73,9 (кольцевые), 96,1 (C1'), 99,1 (C1), 169,7; 170,0 и 170,8 (CO); для (51) — 20,7 и 20,8 (Ac), 52,8 ( $\text{CO}_2\text{CH}_3$ ), 56,2  $\text{OCH}_3$ , 67,9; 68,4; 68,8; 69,1; 70,4; 74,9 (кольцевые), 97,8 (C1'), 99,0 (C1), 168,5; 169,6; 169,9 и 170,1 (CO).

#### СПИСОК ЛИТЕРАТУРЫ

1. Kochetkov N. K. // Tetrahedron. 1987. V. 43. № 11. P. 2389–2436.
2. Бетанели В. И., Брюханова О. В., Отт А. Я., Кочетков Н. К. // Биоорган. химия. 1990. Т. 16. № 3. С. 390–401.
3. Betaneli V. I., Ovchinnikov M. V., Backinowsky L. V., Kochetkov N. K. // Carbohydr. Res. 1979. V. 76. P. 252–256.
4. Betaneli V. I., Ott A. Ya., Brukhanova O. V., Kochetkov N. K. // Carbohydr. Res. 1988. V. 179. P. 37–50.
5. Бетанели В. И., Литвак М. М., Бакиновский Л. В., Кочетков Н. К. // Изв. АН СССР. Сер. хим. 1985. № 5. С. 1172–1177.
6. Бакиновский Л. В., Нифантьев Н. Э., Бетанели В. И., Стручкова М. И., Кочетков Н. К. // Биоорган. химия. 1983. Т. 9. № 1. С. 74–86.
7. Helferich B. // Adv. Carb. Chem. 1948. V. 3. P. 79–111.
8. Жулин В. М., Климов Е. М., Макарова З. Г., Малышева Н. Н., Кочетков Н. К. // Докл. АН СССР. 1986. Т. 289. № 1. С. 105–108.

9. Kochetkov N. K., Zhulin V. M., Klimov E. M., Malysheva N. N., Makarova Z. G., Ott A. Ya. // Carbohydr. Res. 1987, V. 164. P. 241–254.
10. Жулин В. М., Макарова З. Г., Малышева Н. Н., Климов Е. М., Кочетков Н. К. // Изв. АН СССР. Сер. хим. 1987. № 9. С. 1951–1956.
11. Жулин В. М., Климов Е. М., Малышева Н. Н., Макарова З. Г., Кочетков Н. К. // Докл. АН СССР. 1987. Т. 295. № 4. С. 873–877.
12. Жулин В. М., Макарова З. Г., Климов Е. М., Малышева Н. Н., Кочетков Н. К. // Докл. АН СССР. 1989. Т. 309. № 3. С. 641–645.
13. Gree G. M., Mackie D. W., Perlin A. S. // Can. J. Chem. 1969. V. 47. № 3. P. 511–512.
14. Kochetkov N. K., Betaneli V. I., Ovchinnikov M. V., Backinowsky L. V. // Tetrahedron. 1981. V. 37. Suppl. 9. P. 149–156.
15. Черняк А. Я., Конопов Л. О., Антонов К. В. // Изв. АН СССР. Сер. хим. 1988. № 7. С. 1660–1667.

Поступила в редакцию  
27.VIII.1991  
После доработки  
29.I.1992

V. I. BETANELI, O. V. BRUKHANOVA, A. YA. OTT, Z. G. MAKAROVA,  
N. K. KOCHETKOV

**GLYCOSYLATION BY 1,2-O-[1-(EXO-CYANO)ETHYLIDENE]  
DERIVATIVES OF D-MANNURONIC ACID. SYNTHESIS OF  
MANNOPYRANURONOSYL-MANNOPYRANURONOSIDE DERIVATIVES**

*N. D. Zelinsky Institute of Organic Chemistry, Russian Academy of Sciences, Moscow*

Glycosylation of 2-, 3-, and 4-trityl ethers of methyl( $\alpha$ -D-mannopyranoside)uronate by 1,2-O-[1-(exo-cyano)ethylidene]- $\beta$ -D-mannopyranuronic acid esters has been investigated, including the effect of high pressure (1.4 GPa) on the stereoselectivity of the reaction. The disaccharides obtained have been deblocked by means of various reaction sequences.